



# БИООРГАНИЧЕСКАЯ ХИМИЯ

том 10 \* №10 \* 1984

УДК 547.857.7'422:548.737+615.33

## РЕНТГЕНОСТРУКТУРНОЕ ИССЛЕДОВАНИЕ ПРОТИВОВИРУСНОГО АГЕНТА (*S*)-9-(2,3-ДИОКСИПРОПИЛ)АДЕНИНА

*Гурская Г. В., Джавадова Г. М., Васильев Д. Г.,  
Цилевич Т. Л., Завгородний С. Г., Флорентьев В. Л.*

*Институт молекулярной биологии Академии наук СССР, Москва*

Установлена молекулярная и кристаллическая структура противовирусного агента (*S*)-9-(2,3-диоксипропил)аденина. Пространственная группа кристаллов —  $P2_1$ , параметры элементарной ячейки:  $a = 5,546(1)$ ,  $b = 8,381(1)$ ,  $c = 10,119(1)$  Å,  $\beta = 91,979(9)^\circ$ ;  $Z = 2$ . Структура решена прямым методом и уточнена полноматричным методом наименьших квадратов до  $R = 4,2\%$ . В молекуле соединения все неводородные атомы сосредоточены в двух плоскостях, первую из которых образуют атомы пуринового остатка и атомы N(6) и C(1'), а вторую — атомы C(2'), C(3'), O(2') и O(3'); угол между плоскостями равен  $54,3^\circ$ . Проведено сравнение конформации молекулы в кристалле с теоретически рассчитанными и конформацией в растворе.

Ранее на основании анализа ферментативных реакций в терминах теории переходного состояния было предсказано наличие биологической активности в ряду аналогов нуклеозидов, отличающихся от природных нуклеозидов большими конформационными возможностями [1]. В качестве перспективных были рассмотрены аналоги нуклеозидов, несущие вместо остатка рибозы ациклические оксикальильные заместители, имитирующие тот или иной фрагмент углеводного цикла. Действительно, в последующие годы был получен ряд подобных соединений, обладающих высокой биологической активностью. Отметим здесь такие противовирусные препараты, как «ациклогуанозин» (9-(2-оксиэтоксиметил)гуанин) [2], BIOLF-62 (9-[2-окси-1-(оксиметил)этоксиметил]гуанин) [3], и, наконец, (*S*)-изомер 9-(2,3-диоксипропил)аденина (DHPA) [4, 5]. Первые два из названных соединений обладают избирательной активностью, в то время как последнее проявляет широкий спектр антивирусной активности [5]. Изучение пространственного строения этих соединений представляет несомненный интерес для выявления основных структурных закономерностей, обусловливающих их биологическую активность.

Настоящее сообщение посвящено рентгеноструктурному исследованию молекулярной и кристаллической структуры (*S*)-энантиомера 9-(2,3-диоксипропил)аденина (*S*-DHPA). В табл. 1 представлены координаты атомов структуры, полученные после уточнения методом наименьших квадратов, и соответствующие  $R = 4,2\%$ . Рассчитанные по этим координатам длины связей и величины валентных углов между атомами O, N, C (тяжелыми атомами) в молекуле (*S*)-DHPA приведены на рис. 1. Точность определения ( $\sigma$ ) длин связей составляет  $\sim 0,003$  Å, валентных углов —  $\sim 0,3^\circ$ . На рис. 1 приведена также использованная в работе нумерация атомов и показана ориентация эллипсоидов тепловых колебаний тяжелых атомов.

Из сравнения длин связей и величин валентных углов в адениновом цикле (*S*)-DHPA с соответствующими значениями в структуре природного аденоцина [6] видно, что большинство из них в пределах точности определения совпадают. Исключение составляют связь C(8)—N(9), которая удлинена на  $6\sigma$ , и валентные углы C(6)—C(5)—C(4) и N(7)—C(8)—N(9), первый из которых увеличен на  $3\sigma$ , а второй уменьшен на  $2\sigma$ . Следствием изменения названных углов является увеличение на  $3\sigma$  экзоциклического угла C(6)—C(5)—N(7).

Таблица 1

Относительные координаты атомов ( $\times 10^4$  для С, N, O,  $\times 10^3$  для H) в структуре DHPA

В скобках приведены стандартные отклонения

Атом	$x/a$	$y/b$	$z/c$	Атом	$x/a$	$y/b$	$z/c$
N(1)	7304(5)	2856(4)	9375(3)	C(3')	609(5)	-426(5)	3903(3)
C(2)	5345(6)	3209(4)	8613(3)	O(3')	-1403(4)	-1376(4)	4229(2)
N(3)	3985(5)	2250(4)	7845(3)	H(2)	466	436	873
C(4)	4813(5)	737(4)	7904(3)	H(N6,1)	1043	-10	1032
C(5)	6789(6)	195(4)	8629(3)	H(N6,2)	1096	159	1056
C(6)	8096(6)	1324(4)	9415(3)	H(8)	516	-292	714
N(6)	10001(6)	947(0)	10185(3)	H(1',4)	68	-138	656
N(7)	7124(5)	-1432(4)	8433(3)	H(1',2)	92	49	635
C(8)	5359(6)	-1832(4)	7601(3)	H(2')	329	-194	473
N(9)	3864(5)	-568(4)	7243(2)	H(02')	587	-9	465
C(1')	1857(5)	-568(4)	6285(3)	H(3',1)	118	-59	294
C(2')	2705(5)	-763(4)	4885(3)	H(3',2)	16	81	397
O(2')	4551(4)	365(3)	4634(2)	H(03')	-194	-181	349

Таблица 2

Уравнения наилучших плоскостей, проведенных через атомы, отмеченные звездочками, и отклонения атомов от этих плоскостей

Атомы	Отклонение, Å	Атомы	Отклонение, Å
Плоскость 1 $-3,439x - 1,606y + 7,909z = 4,459$			
N(1)*	0,015	N(7)*	0,010
C(2)*	0,001	C(8)*	-0,004
N(3)*	-0,014	N(9)*	-0,032
C(4)*	-0,018	N(6)*	-0,005
C(5)*	0,001	C(1')*	0,036
C(6)*	0,010	C(2')	1,404
Плоскость 2 $-2,106x + 5,689y + 6,489z = 2,210$			
C(2')*	0,044	O(3')*	-0,047
O(2')*	-0,046	C(1')	-1,154
C(3')*	0,048		

Таблица 3

Геометрические характеристики водородных связей

Атом-донор (Д)	Атом-акцептор (А)	Расстояние, Å		Угол Д — Н...А, град
		Д — А	Н — А	
N(6)	N(7)	3,028	2,20	169,2
N(6)	N(1)	3,016	2,14	159,1
O(2')	O(3')	2,719	1,92	164,1
O(3')	N(3)	2,752	1,90	162,9

Длина экзоциклической связи C(6)—N(6) близка к длине соответствующей связи в аденоzinе, однако прилегающие к ней валентные углы несколько различаются. Угол N(6)—C(6)—C(4) меньше аналогичного угла в молекуле аденоzина на  $1^\circ$ , а угол N(6)—C(6)—N(1) соответственно больше. Аналогичное перераспределение величин валентных углов имеет место в структурах 9-[3-(3-индолил)пропил]аденина [7] и 1-[2-(аденин-9-ил)этил]-3-карбамоилпиридина [8].

Следует обратить внимание также на укорочение в пределах 4σ псевдогликозидной связи и более симметричную ориентацию ее относительно аденинового цикла по сравнению с аденоzinом. Разница между экзоциклическими углами C(8)—N(9)—C(1') и C(4)—N(9)—C(1') в (S)-DHPA составляет  $1,2^\circ$ , в то время как в аденоzине она равна  $5,7^\circ$  [6]. Аналогич-

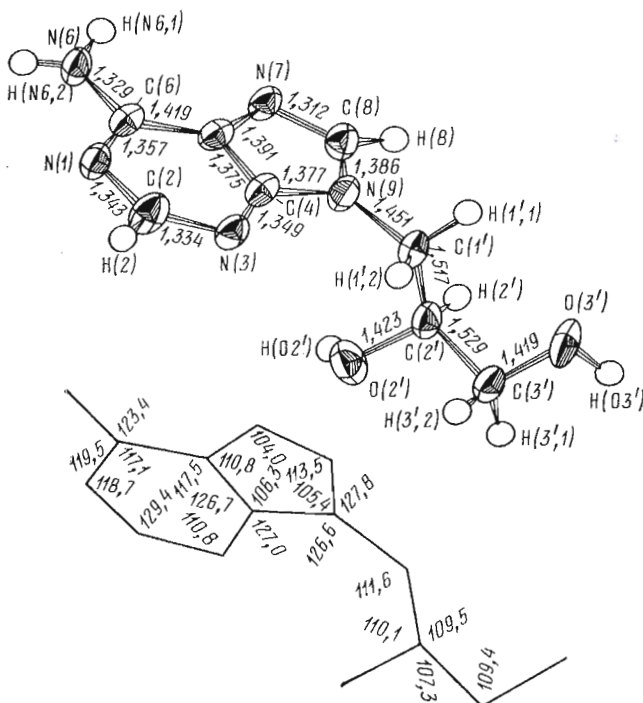


Рис. 1. Строение молекулы (*S*)-DHRA. Атомы O, N, C изображены эллипсоидами тепловых колебаний с 50%-ной вероятностью

ное выравнивание величин экзоциклических углов при атоме N(9) наблюдается в структурах ряда других аналогов, содержащих, так же как и (*S*)-DHRA, фрагменты алифатической углеводородной цепи, непосредственно связанные с N(9)-атомом [7–9]. Геометрия пропильного остатка хорошо согласуется с данными, полученными для структур 9-[3-(3-индолил)пропил]аденина [7] и 3-(аденин-9-ил)пропионамида [9]. Длины связей в оксигруппах различаются в пределах 0 и близки к обычным одинарным C—O-связям [10].

Конформация молекул (*S*)-DHRA такова, что все тяжелые атомы молекулы оказались сосредоточенными в двух плоскостях. Первую плоскую группировку составляют атомы пуринового цикла и атомы N(6) и C(1'), вторую — атомы C(2'), C(3') и атомы кислорода оксигрупп. В табл. 2 приведены уравнения соответствующих среднеквадратичных плоскостей и отклонения атомов от них. Среднее значение отклонений атомов от первой плоскости составляет  $\sim 0,013 \text{ \AA}$ , от второй —  $-0,046 \text{ \AA}$ . Угол между плоскостями равен  $54,3^\circ$ .

На рис. 2 показана укладка молекул (*S*)-DHRA в кристаллическую структуру. Каждая молекула (*S*)-DHRA в кристалле выступает одновременно как в роли донора, так и в роли акцептора четырех водородных связей. При этом в образовании водородных связей участвуют все атомы кислорода и азота, потенциально способные их образовывать, т. е. в структуре реализован принцип насыщения водородных связей. В результате молекулы (*S*)-DHRA в кристалле оказываются прочно соединенными друг с другом трехмерной сеткой водородных связей, длины которых варьируют от 2,719 до 3,028 Å. Геометрические параметры водородных связей приведены в табл. 3. Кроме того, в структуре имеются укороченные (3,262 Å) расстояния между атомами C(8) и O(2') молекул, симметрично связанных двойными винтовыми осями, проходящими через центры ячеек. Угол C(8)—H(8)...O(2') равен  $153,5^\circ$ , расстояние между атомами H(8) и O(2') составляет 2,31 Å, что может свидетельствовать о наличии в структуре слабых водородных связей типа C—H...O [11].

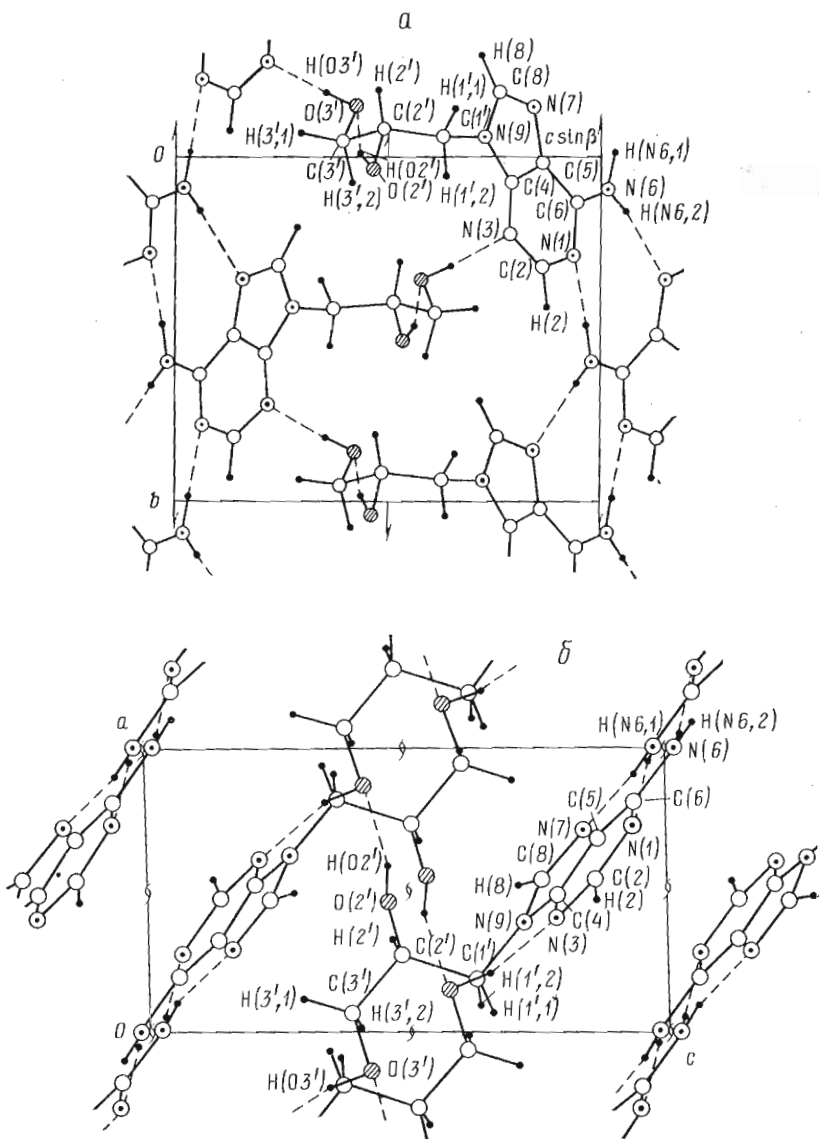


Рис. 2. Упаковка молекул (S)-DHPA в кристаллической структуре. Вид вдоль осей *a* (*a*) и *b* (*b*). Водородные связи изображены пунктирными линиями

Дополнительная стабилизация кристаллической структуры (S)-DHPA осуществляется за счет сил Ван-дер-Ваальса. Ярко выраженных стекинг-взаимодействий в структуре не обнаружено. Наблюдается только одно несколько заниженное (3,491 Å) по сравнению с суммой ван-дер-ваальсовых радиусов значение контактов между атомами С(2) и С(5) молекул, симметрично связанных двойными винтовыми осями, проходящими через середины осей *a* элементарных ячеек.

В заключение остановимся на сравнении конформации (S)-DHPA, существующей в кристалле, с расчетными данными и с конформационными данными для раствора.

Основные двугранные углы, характеризующие конформацию молекулы (S)-DHPA в кристаллической структуре, имеют следующие значения:

$\phi_1$	C(8)—N(9)—C(1')—C(2')	-68,7°
$\phi_2$	N(9)—C(1')—C(2')—C(3')	-168,8°
$\phi_3$	N(9)—C(1')—C(2')—O(2')	-51,2°
$\phi_4$	C(1')—C(2')—C(3')—O(3')	-52,7°
$\phi_5$	O(2')—C(2')—C(3')—O(3')	-172,1°

Таблица 4

Возможные идеализированные конформации диоксипропильной цепи (*S*)-DHRA и соответствующие им конфигурации и конформации пентафуранозного цикла нуклеозидов \*

Конформация	Двугранные углы, град				Геометрия пентафуранозного цикла	
	$\Phi_2$	$\Phi_3$	$\Phi_4$	$\Phi_5$	Конфигурация	Конформация
I	180	-60	-60	180	$\alpha$ -D-ксило, $\beta$ -L-ара	C(3')-эндо
II	180	-60	180	60	$\beta$ -D-ксило, $\alpha$ -L-ара	C(2')-эндо
III	180	-60	60	-60	$\alpha$ -D-рибо, $\beta$ -L-ликсо	C(3')-эндо
IV	60	180	-60	180	$\beta$ -D-рибо, $\alpha$ -L-ликсо	C(2')-эндо
V	60	180	180	60	$\beta$ -D-рибо, $\alpha$ -L-ара	C(3')-эндо
VI	60	180	60	-60	$\beta$ -D-рибо, $\alpha$ -L-ксило	C(3')-эндо
VII	-60	60	-60	180	Нет аналогий	
VIII	-60	60	180	60	$\alpha$ -D-ксило, $\beta$ -L-ара	C(2')-эндо
IX	-60	60	60	-60	$\alpha$ -D-рибо, $\beta$ -L-ликсо	C(2')-эндо

\* Использованные обозначения двугранных углов см. в тексте статьи.

Возникает естественный вопрос: насколько эти значения отражают конформационное поведение (*S*)-DHRA в растворе?

Конформационные возможности молекулы (*S*)-DHRA достаточно богаты. Даже если не рассматривать вращения вокруг псевдогликозидной N(9)-C(1')-связи, диоксипропильная цепь может принимать девять дискретных конформаций, причем семь из них могут имитировать  $\alpha$ - и  $\beta$ -аномеры D-ксило-, D-рибо-, L-арабино- и L-ликсофуранозы, а две оставшиеся не имеют стереоаналогов в ряду пентафураноз (табл. 4).

При рассмотрении относительного расположения нукleinового основания и алкильной цепи следует учитывать по крайней мере три конформации с  $\varphi_1 \sim -60^\circ$ ,  $\sim 0^\circ$  и  $\sim 30^\circ$ . Первая из них имитирует анти-, вторая — высокую-анти-, а третья — весьма редкую низкую-анти-конформацию нуклеозидов. Найденная в настоящей работе структура имеет конформацию типа I (табл. 4) алкильной цепи и соответствует анти-C(3')-эндо-конформации  $\beta$ -L-арабино- или  $\alpha$ -D-ксилофуранозиладенина.

Проведенный ранее квантовохимическим методом конформационный расчет (*S*)-DHRA [12] указывает на наличие четырех минимумов потенциальной энергии. Глобальному минимуму соответствует конформер типа IX с  $\varphi_1 = 30^\circ$ , далее в порядке повышения энергии следуют конформеры типа III, II и I (во всех случаях  $\varphi_1 = 0^\circ$ ). Последний конформер превышает по энергии глобальный минимум лишь на 1,24 ккал/моль. Таким образом, кристаллической структуре соответствует наихудший по потенциальной энергии расчетный конформер.

Конформация (*S*)-DHRA в водном растворе была изучена с помощью метода кругового дихроизма [13]. Хотя применимость этого метода в данном случае довольно ограничена (можно оценить лишь взаимное расположение в пространстве хирального центра и аденинового цикла), тем не менее полученные в этой работе результаты позволяют сделать ряд важных выводов. Во-первых, усредненная во времени конформация относительно N(9)-C(1')-связи соответствует значению  $\varphi_1$ , близкому к  $-60^\circ$  (анти-подобная конформация), что совпадает с рентгеноструктурными данными. Во-вторых, в растворе реализуются лишь те конформации, для которых значение  $\varphi_3$  лежит в пределах от  $-60$  до  $-180^\circ$ .

Таким образом, конформеры типа VII–IX не участвуют в равновесии в заметных количествах, хотя именно структура IX отвечает глобальному минимуму конформационного расчета [12]. Этот факт еще раз указывает на неоднократно отмечавшуюся опасность использования различий менее 5 ккал/моль в потенциальной энергии, рассчитанной методами квантовой химии и атом-атомных потенциалов, для интерпретации конформационного поведения малых молекул. Из оставшихся шести типов (табл. 4) наи-

более вероятно присутствие в растворе анти-подобных конформеров ( $\phi_1 \sim -60$  и  $\sim 0^\circ$ ) с конформацией диоксипропильного остатка типа I–III.

Возможно, что высокая биологическая активность (*S*)-DHPA связана не с «закреплением» некоторой жесткой активной геометрии молекулы, а с высокой конформационной подвижностью, позволяющей молекуле с небольшими затратами энергии подстраиваться под геометрию переходного состояния ферментативной реакции.

### Экспериментальная часть

(*S*)-DHPA синтезировали по методике [4]. Использованные для рентгеновской съемки кристаллы (бесцветные прозрачные призмы размером  $0,63 \times 0,23 \times 0,06$  мм) получали из насыщенного водного раствора соединения медленным испарением растворителя при  $\sim 20^\circ\text{C}$ . Пространственная группа кристаллов —  $P2_1$ , параметры элементарной ячейки:  $a 5,546(1)$ ,  $b 8,381(1)$ ,  $c 10,119(1)$  Å,  $\beta 91,979(9)^\circ$ ,  $Z 2$ . Интенсивности рефлексов и параметры элементарной ячейки измеряли на автоматическом дифрактометре CAD-4F (Enraf-Nonius) с графитовым монохроматором (излучение  $\text{Cu } K_\alpha$ ). Съемку проводили методом  $\theta/2\theta$ -сканирования в области углов рассеяния  $2\theta$  до  $150^\circ$ . Экспериментальные данные скорректированы на факторы Лорентца и поляризации, поглощение образца не учитывалось.

В работе использовали интенсивности 1010 независимых отражений, для которых  $I \geq 3\sigma(I)$ . Структура решена прямым методом и уточнена полнотривальным методом наименьших квадратов в приближении анизотропного теплового движения атомов. Положение атомов водорода определяли и уточняли по серии разностных слизевов электронной плотности. В расчеты методом наименьших квадратов атомы водорода вводились с фиксированными координатами и изотропными индивидуальными температурными факторами, равными значениям этих факторов для тяжелых атомов, с которыми они ковалентно связаны. Окончательное значение фактора  $R$  равно 4,2%.

Все необходимые вычисления проводили по программе «Рентген-75» [14] на ЭВМ БЭСМ-6 в Вычислительном центре АН СССР. Рисунок 1 выполнен по программе «ORTEP II», адаптированной к БЭСМ-6 [15].

### ЛИТЕРАТУРА

1. Крицын А. М., Михайлов С. Н., Флорентьев В. Л. Молекулярн. биология, 1975, т. 9, № 1, с. 121–124.
2. Schaeffer H. J., Beauchamp L., De Miranda P., Elion G. B., Bauer D. J., Collins P. Nature, 1978, v. 272, № 5654, p. 583–585.
3. Ogilvie K. K., Cheriyan U. O., Radatus B. K., Smith K. O., Galloway K. S., Kennell W. L. Can. J. Chem., 1982, v. 60, № 15, p. 3005–3010.
4. Крицын А. М., Колобушкина Л. И., Михайлов С. Н., Флорентьев В. Л. Химия гетероциклических соединений, 1975, № 1, с. 125–131.
5. de Clercq E., Holy A. J. Med. Chem., 1979, v. 22, № 2, p. 510–513.
6. Lai T. F., Marsh R. E. Acta crystallogr., 1972, v. B28, № 7, p. 1982–1989.
7. Bunick G., Voet D. Acta crystallogr., 1982, v. B38, № 2, p. 575–580.
8. Ishida T., Miyamoto Y., Nakamura A., Inoue M. Acta crystallogr., 1982, v. B38, № 1, p. 192–195.
9. Takimoto M., Takenaka A., Sasade Y. Bull. Chem. Soc. Japan, 1981, v. 54, № 6, p. 1635–1639.
10. Kennard O., Watson D. G. Molecular structure and dimensions, 1972, v. A1, Netherlands.
11. Marsh R. E., Ramakumar S., Venkatesan K. Acta crystallogr., 1976, v. B32, № 1, p. 66–70.
12. Havlas Z., Hřebábecký H., Beránek J. Nucl. Acids Res., 1980, v. 8, № 24, p. 6233–6238.
13. Крицын А. М., Михайлов С. Н., Мишарин А. Ю., Падюкова Н. Ш., Флорентьев В. Л. Биоорган. химия, 1976, т. 2, № 10, с. 1338–1350.
14. Андрианов В. И., Сафина З. Ш., Тарнопольский Б. Л. «Рентген-75». Автоматизированная система программ для расшифровки структур кристаллов. Черноголовка, 1975.
15. Шепелев Ю. Ф., Смолин Ю. И. Инструкция к программе рисования кристаллитических структур (Модификация ORTEP II для БЭСМ-6). Л., 1979.

Поступила в редакцию:  
10.II.1984

X-RAY STUDY OF ANTIVIRAL COMPOUND (*S*)-9-(2,3-DIHYDROXYPROPYL)  
ADENINE

GURSKAYA G. V., DZHAVADOVA G. M., VASILIEV D. G.,  
TSILEVICH T. L., ZAVGORODNY S. G., FLORENTIEV V. L.

*Institute of Molecular Biology, Academy of Sciences  
of the USSR, Moscow*

The molecular and crystal structures of the antiviral compound, (*S*)-9-(2,3-dihydroxypropyl)adenine, was established. The space group is  $P2_1$ , unit-cell parameters  $a$  5,546(1),  $b$  8,381(1),  $c$  10,119(1),  $\beta$  91,979(9) $^\circ$ , Z2. The structure was solved by the direct method and refined by a full-matrix least-squares procedure to  $R$  4,2%. All non-hydrogen atoms of this compound are concentrated in two planes. The first one involves the atoms of the purine moiety and N(6) and C(1'), while the second one accommodates C(2'), C(3'), O(2') and O(3'). The angle between these planes is 54,3 $^\circ$ . The conformation of the compound in crystal was compared with that deduced from theoretical analysis.